

MATH-111(d) Algèbre linéaire (pour MT)

Application à la mécanique des guidages flexibles

19 décembre 2024

Antoine DURET

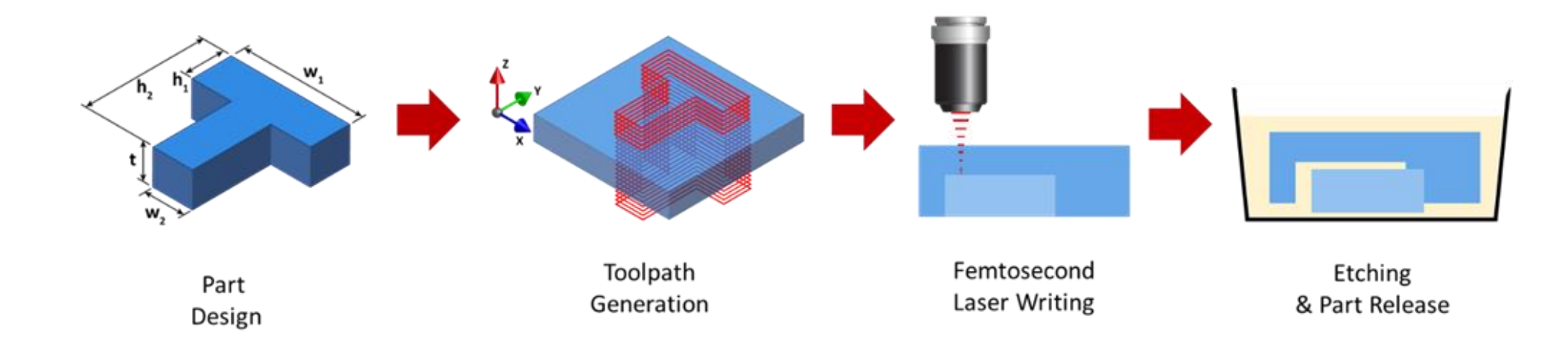
 École polytechnique fédérale de Lausanne



Contexte

Fabrication 3D de micromécanismes en verre à l'aide de lasers femtoseconde

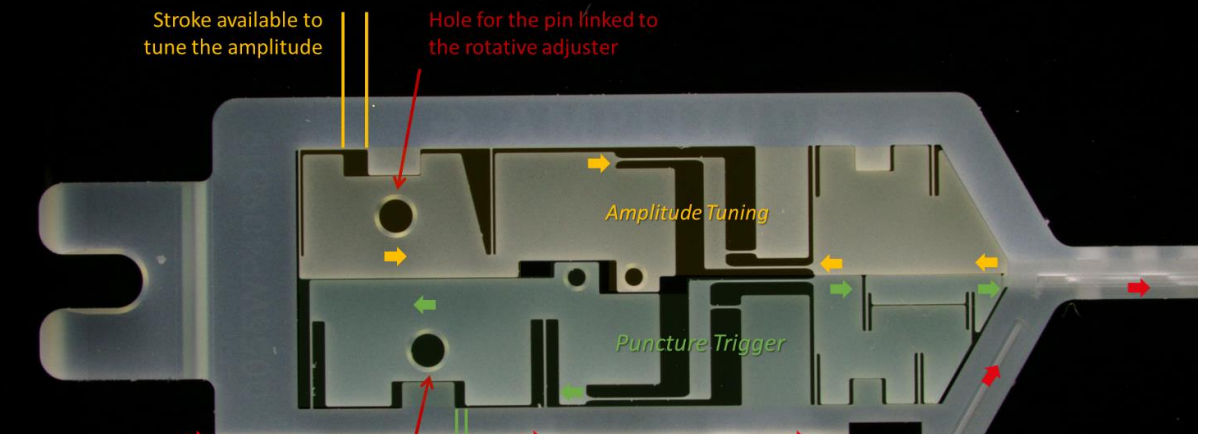
- Pièces monolithiques
- Dimensions extrêmement fines (lames de $30 \mu m$ d'épaisseur)
- Guidages flexibles

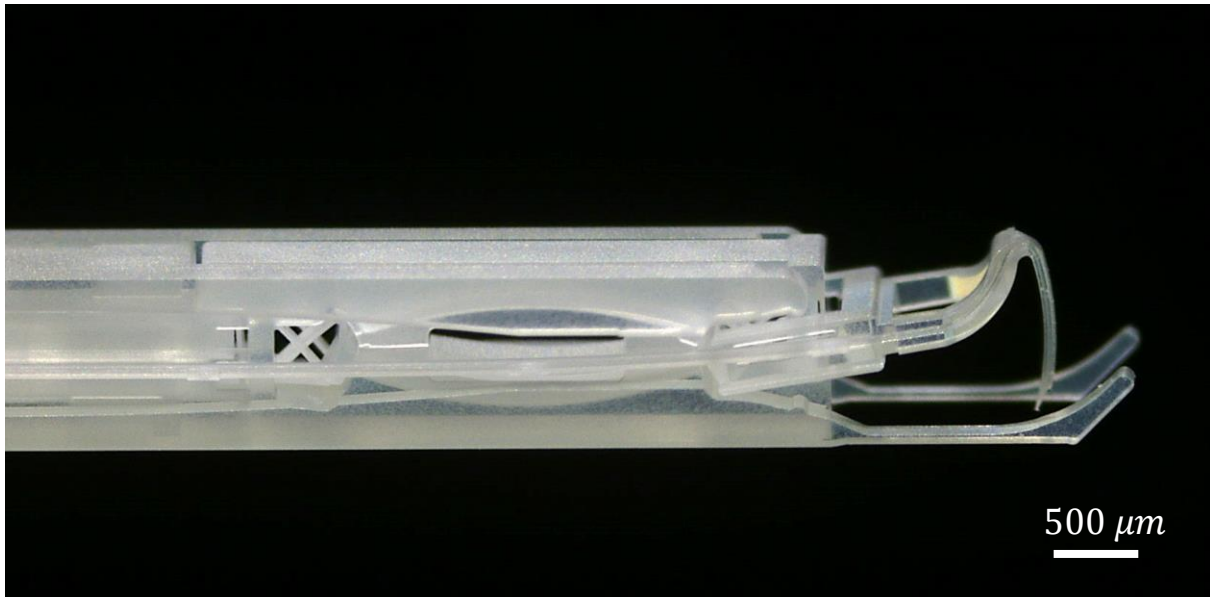


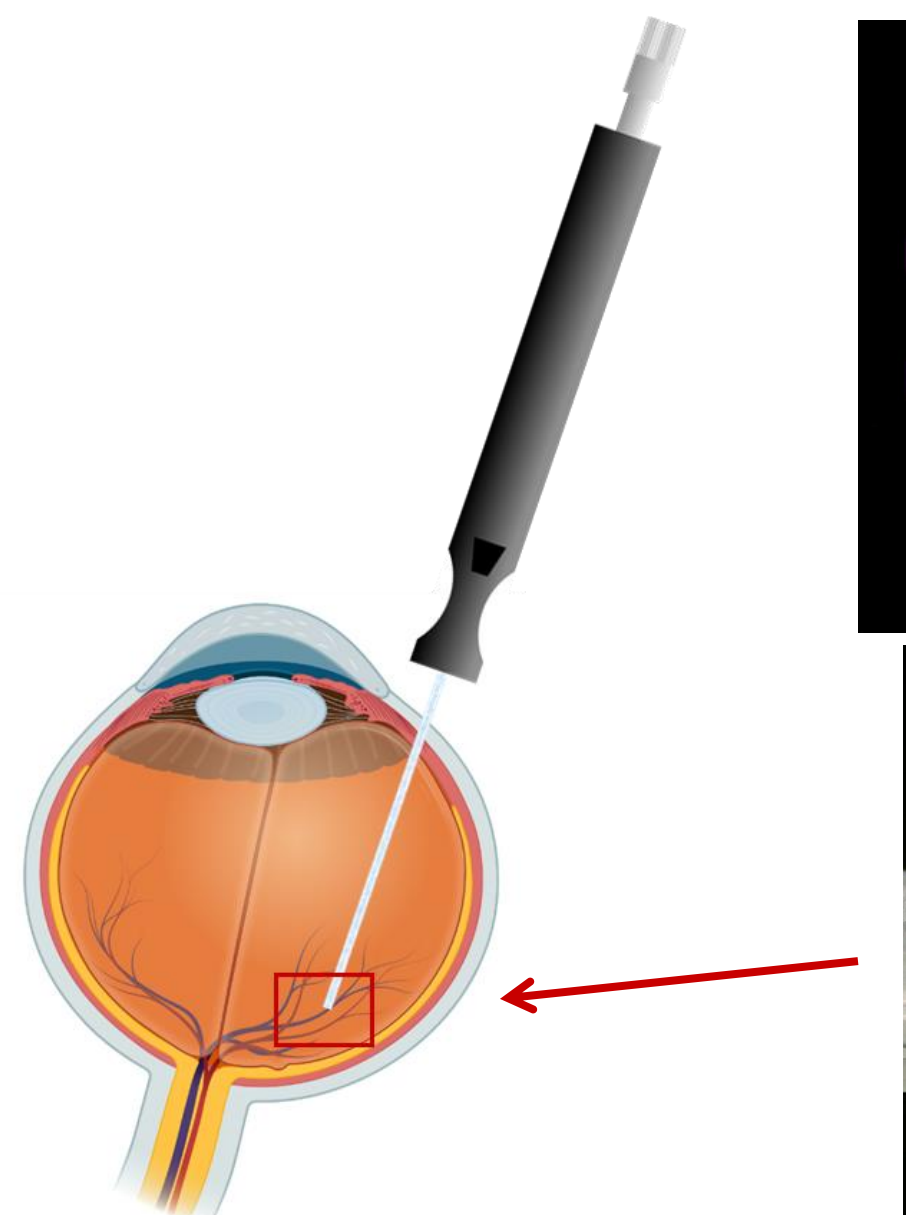
Exemples d'applications

- Technologies biomédicales (outils de chirurgie)
- Télécommunications (connecteurs optiques)
- Pièces horlogères

Exemple: outil de chirurgie pour la rétine













1 mm

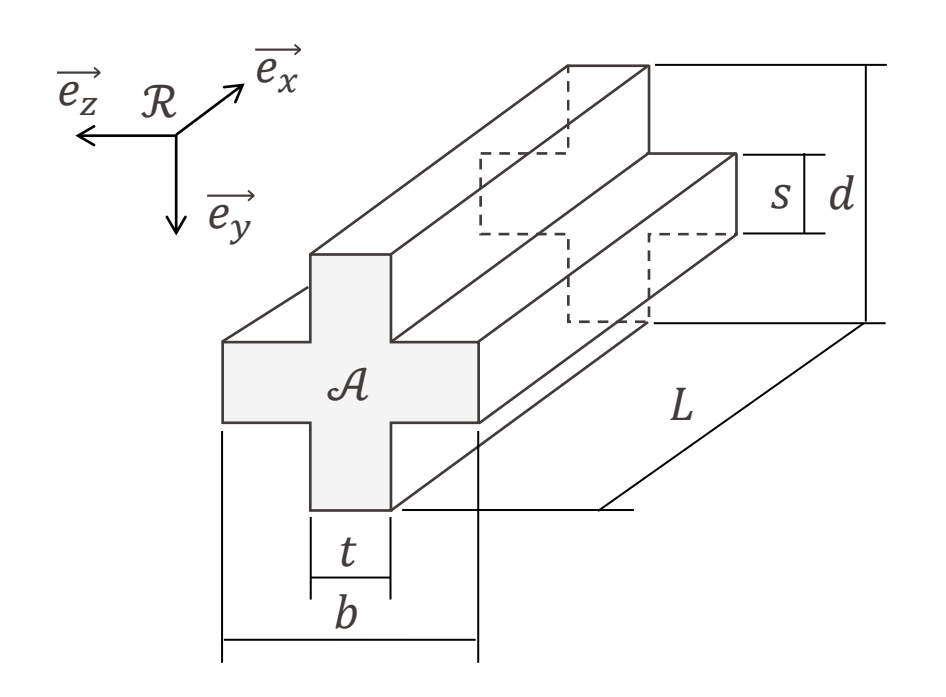


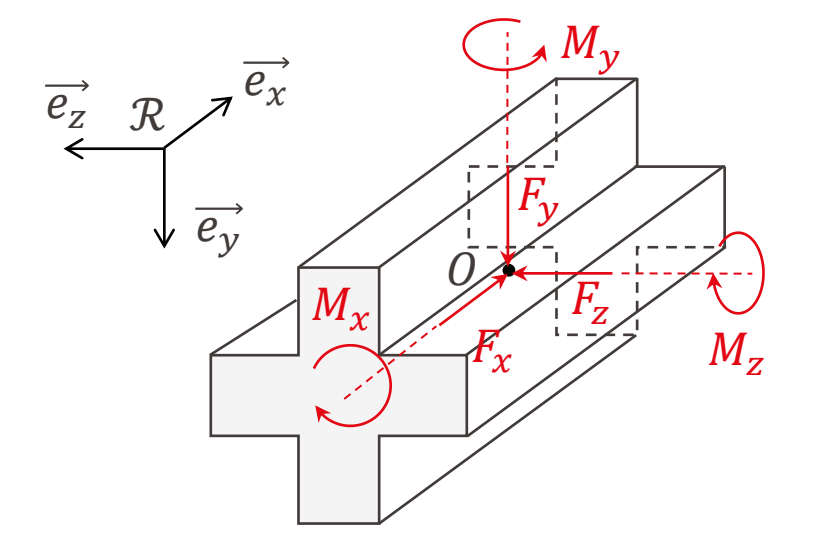




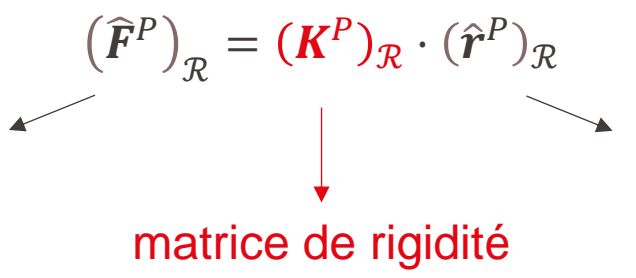
Objectif: calcul de la rigidité d'un mécanisme flexible

Exemple: pivot cruciforme



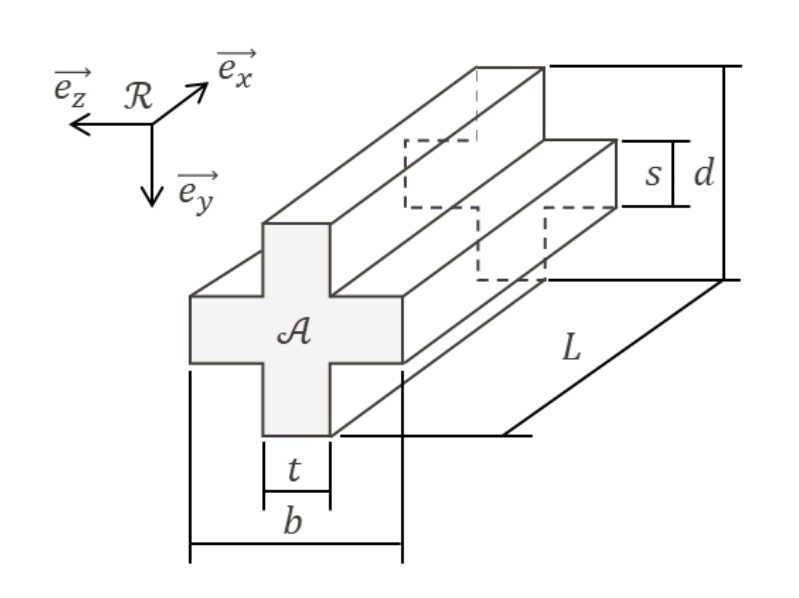


wrench général des charges (forces et moments)

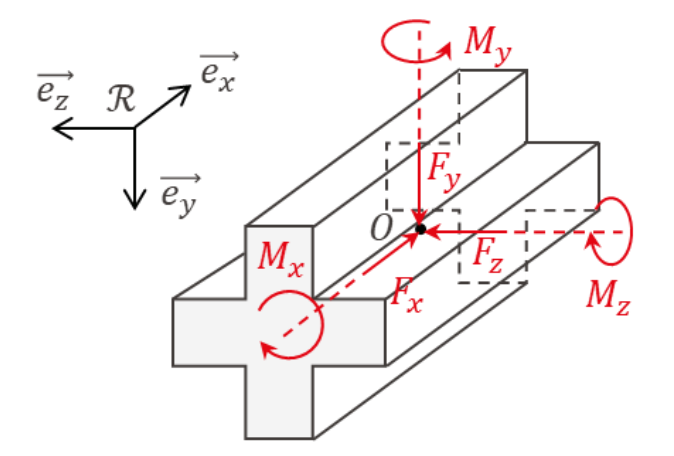


twist général des déplacements (linéaires et angulaires)

Rigidités linéaires et angulaires



 $I_{x} = I_{y} + I_{z}$



$$\mathcal{A} = d \cdot t + s \cdot (b - t)$$

$$I_y = \frac{sb^3 + t^3(d-s)}{12}$$

$$I_z = \frac{td^3 + s^3(b-t)}{12}$$

$$k_{F_{\mathcal{X}},r_{\mathcal{X}}} = \frac{F_{\mathcal{X}}}{r_{\mathcal{X}}} = \frac{\mathcal{A}E}{L}$$

$$k_{F_y,r_y} = \frac{F_y}{r_y} \cong \frac{12EI_z}{L^3}$$

$$k_{F_z,r_z} = \frac{F_z}{r_z} \cong \frac{12EI_y}{L^3}$$

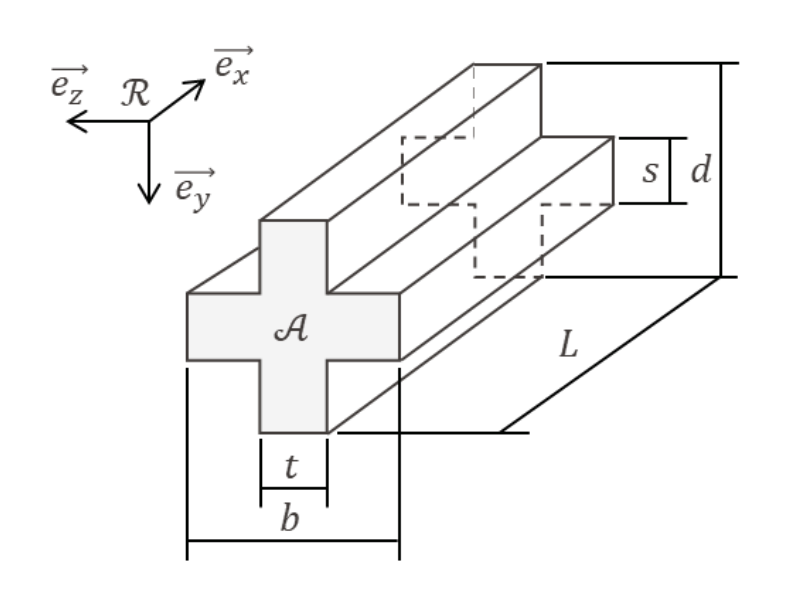
(torsion)

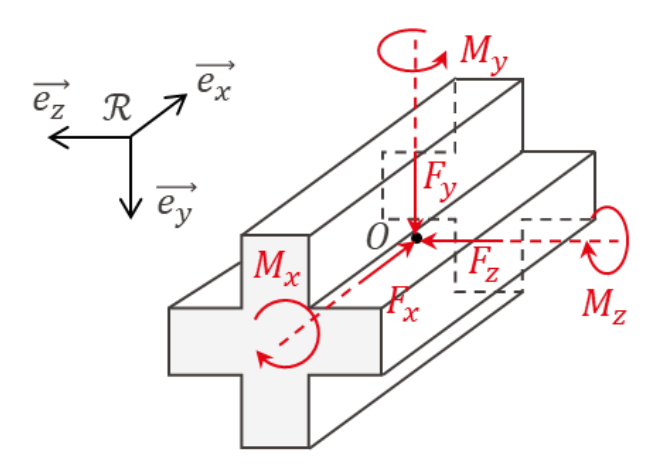
$$k_{M_{\mathcal{X}},\theta_{\mathcal{X}}} = \frac{M_{\mathcal{X}}}{\theta_{\mathcal{X}}} = \frac{GI_{\mathcal{X}}}{L}$$

$$k_{M_{\mathcal{Y}},\theta_{\mathcal{Y}}} = \frac{M_{\mathcal{Y}}}{\theta_{\mathcal{Y}}} \cong \frac{EI_{\mathcal{Y}}}{L}$$

$$k_{M_z,\theta_z} = \frac{M_z}{\theta_z} \cong \frac{EI_z}{L}$$

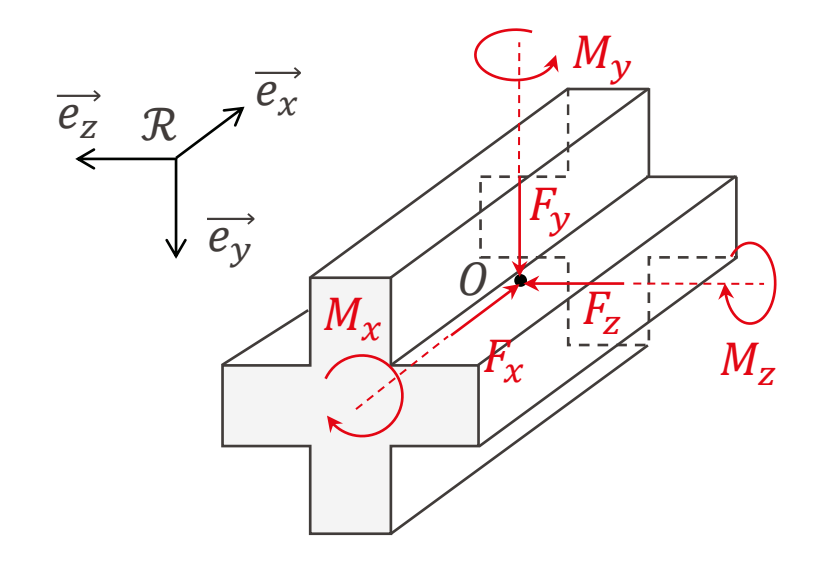
Matrice de rigidité au centre de masse



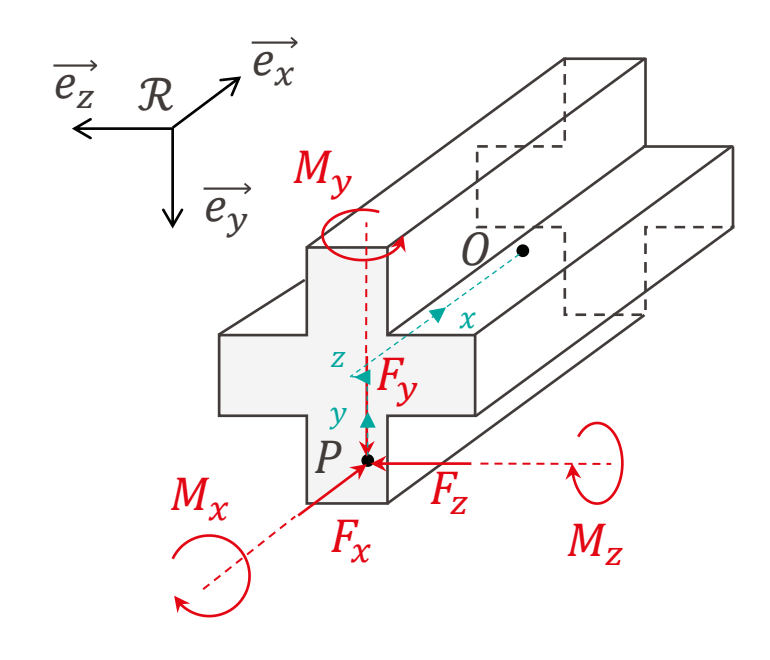


	0	0	0	$\frac{(td^3 + s^3(b-t) + sb^3 + t^3(d-s))G}{12L}$	0	0
$(\mathbf{K}^0)_{\mathcal{R}} =$	0	0	0	0	$\frac{\left(sb^3+t^3(d-s)\right)E}{12L}$	0
	0	0	0	0	0	$\frac{\left(td^3+s^3(b-t)\right)E}{12L}$
	$\frac{(d \cdot t + s \cdot (b - t))E}{L}$	ŭ	0	0	0	0
	0	$\frac{\left(td^3+s^3(b-t)\right)E}{L^3}$	0	0	0	0
	0	0	$\frac{\left(sb^3+t^3(d-s)\right)E}{L^3}$	0	0	0

Matrice de rigidité en un point arbitraire







Point arbitraire

- Translation dans l'espace
- Il est aussi possible d'effectuer des rotations...

Méthode: transformation adjointe

But: transporter la matrice de rigidité du point O dans le repère de coordonnées local \mathcal{R}_i au point P dans le repère de coordonnées global \mathcal{R}

Outil: la transformation adjointe, une représentation particulière tirée de l'algèbre de Lie du groupe « mouvements des corps rigides »

$$(\mathbf{K}^P)_{\mathcal{R}} = \left(T^{O\leftarrow P}\right)^T (\mathbf{K}^O)_{\mathcal{R}_i} (T^{O\leftarrow P}) \blacktriangleleft \text{ (matrice de transformation adjointe)}$$

$$(T^{O\leftarrow P})^{-1} = (T^{O\leftarrow P})^T = (T^{P\leftarrow O}) = \begin{pmatrix} R(\phi) & 0 \\ PO \times & R(\phi) \end{pmatrix}$$

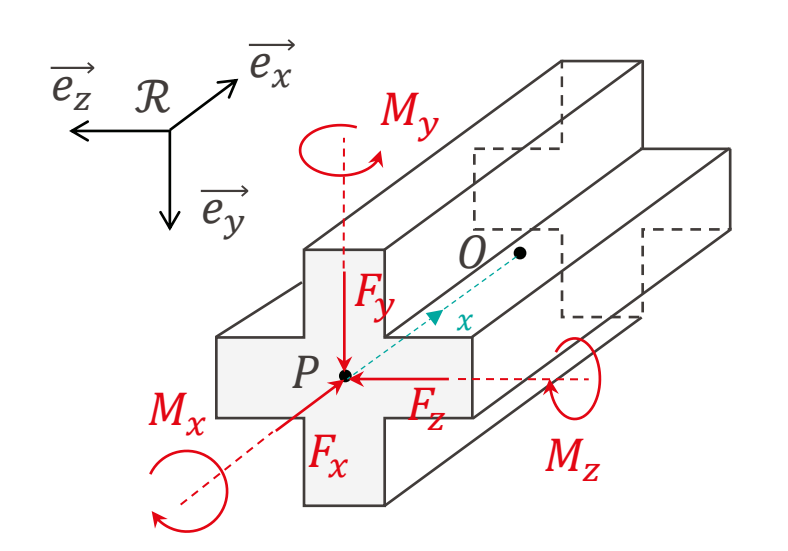
Matrice de rotation de \mathcal{R}_i à \mathcal{R} , (autour de l'axe z par exemple)

$$R(\phi) = \begin{bmatrix} \cos(\phi) & -\sin(\phi) & 0\\ \sin(\phi) & \cos(\phi) & 0\\ 0 & 0 & 1 \end{bmatrix}$$

Opérateur contenant les composantes du vecteur *P0*

$$\mathbf{PO} \times = \begin{bmatrix} 0 & -z & y \\ z & 0 & -x \\ -y & x & 0 \end{bmatrix}$$

Exemple: matrice de rigidité en un point arbitraire



- **PO**: translation dans l'espace de x = L/2 selon $\overrightarrow{e_x}$
- $\mathbf{PO} \times = \begin{bmatrix} 0 & 0 & 0 \\ 0 & 0 & -L/2 \\ 0 & L/2 & 0 \end{bmatrix}$

Pas de rotation

$$(T^{P\leftarrow O}) = \begin{pmatrix} I_{3\times 3} & 0 \\ PO \times & I_{3\times 3} \end{pmatrix}$$

La matrice de rigidité exprimée à l'extrémité de la poutre devient:

$$(\mathbf{K}^P)_{\mathcal{R}} = \begin{pmatrix} 0 & 0 & 0 & \frac{\left(td^3 + s^3(b-t) + sb^3 + t^3(d-s)\right)G}{12L} & 0 & 0 \\ 0 & 0 & 0 & 0 & \frac{\sigma_2}{12L} & 0 \\ 0 & 0 & 0 & 0 & 0 & 0 & \frac{\sigma_1}{12L} \\ \frac{\left(d \cdot t + s \cdot (b-t)\right)E}{L} & 0 & 0 & 0 & 0 & 0 \\ 0 & \frac{\sigma_1}{L^3} & 0 & 0 & 0 & \frac{\sigma_1}{24} - \frac{\sigma_1}{2L^2} \\ 0 & 0 & \frac{\sigma_2}{L^3} & 0 & \frac{\sigma_2}{2L^2} - \frac{\sigma_2}{24} & 0 \end{pmatrix}$$

$$\sigma_1 = (td^3 + s^3(b-t))E$$

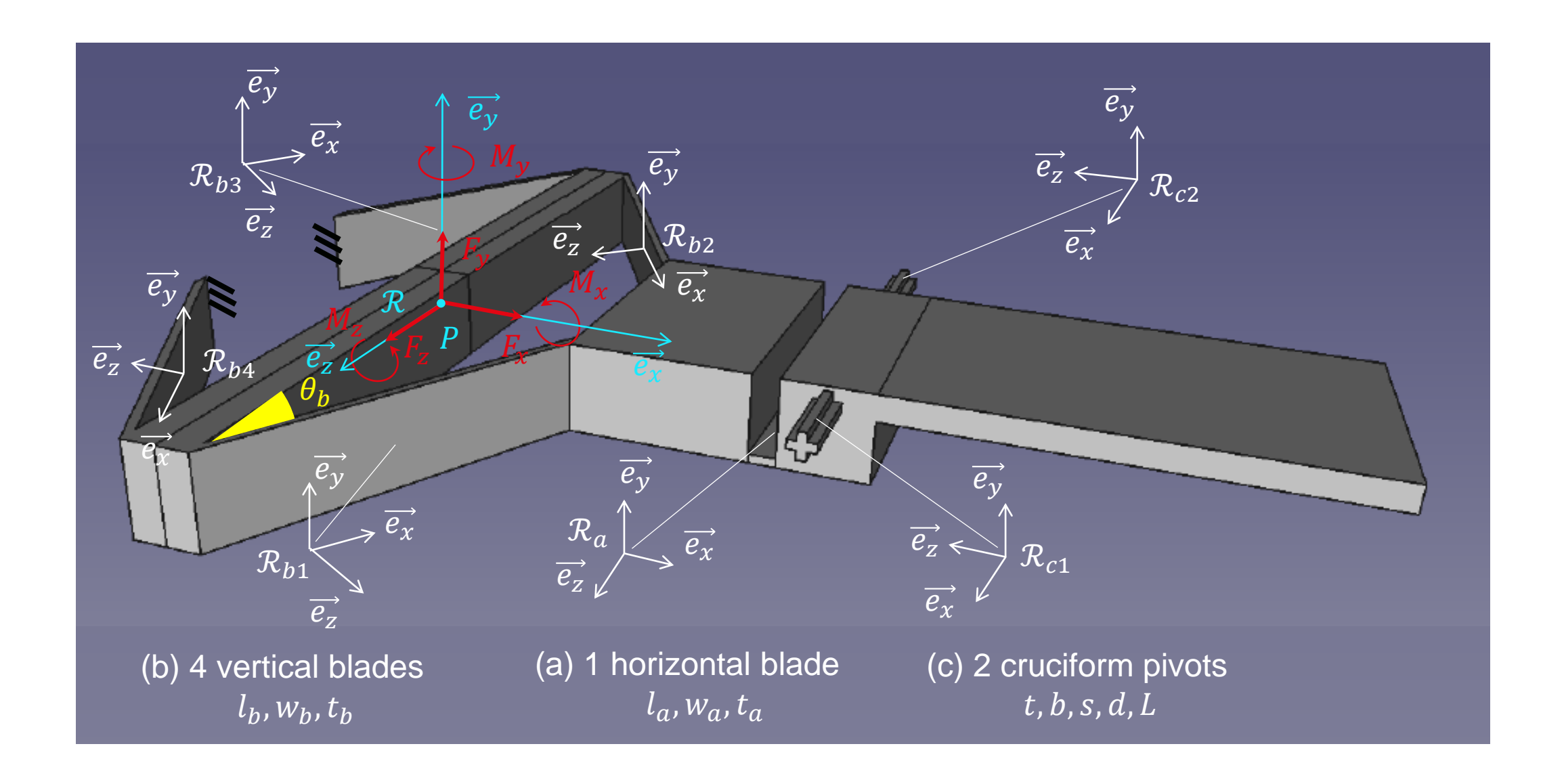
$$\sigma_2 = (sb^3 + t^3(d-s))E$$





Que se passe-t-il pour un mécanisme plus complexe?

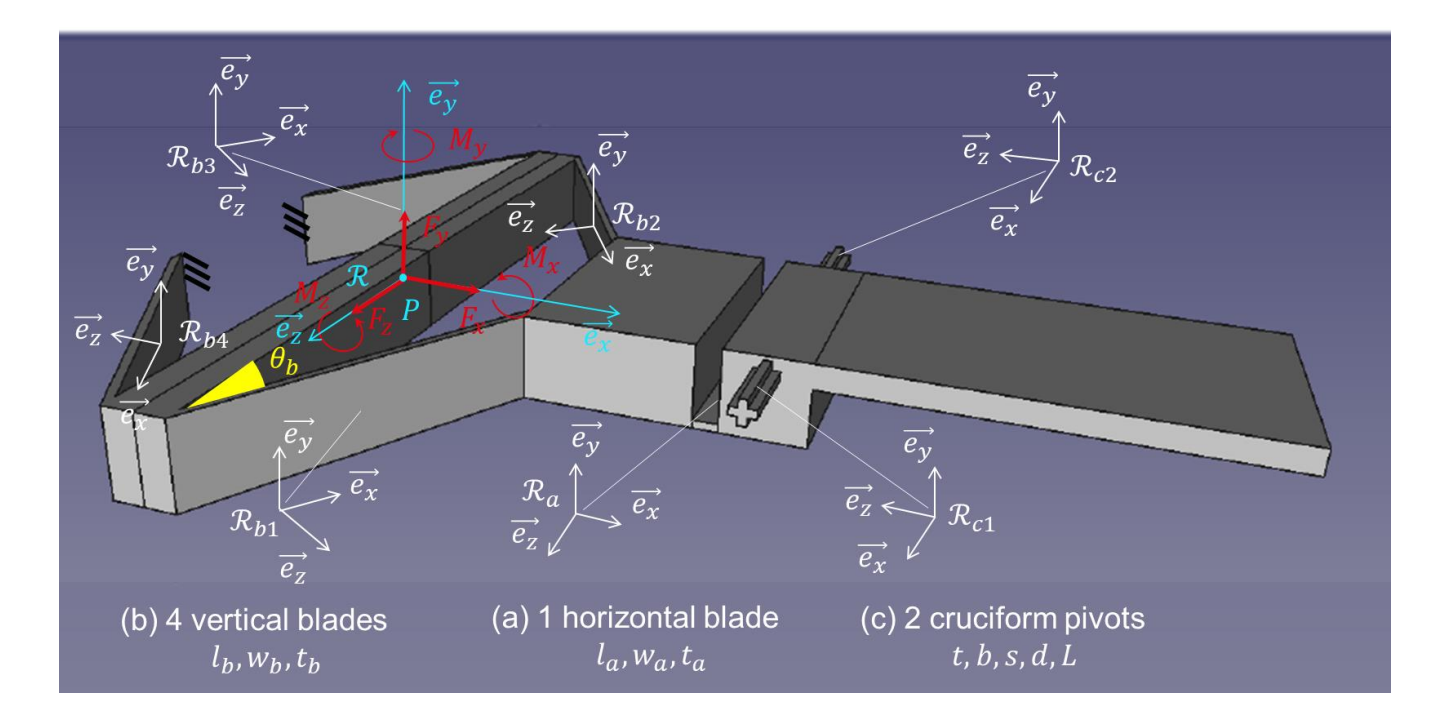
Formalisme



MATH-111(d)

EPFL

Principe de superposition



La matrice de superposition globale est donnée par

$$\begin{split} & \left(\boldsymbol{K}_{tot}^{P} \right)_{\mathcal{R}} \\ &= \left(\left[\left(T_{\mathcal{R}_{a}\mathcal{R}}^{P \leftarrow O} \right) \left(\boldsymbol{K}_{a/0}^{O} \right)_{\mathcal{R}_{a}} \left(\left(T_{\mathcal{R}_{a}\mathcal{R}}^{P \leftarrow O} \right) \right)^{T} \right]^{-1} \\ &+ \left[\left(T_{\mathcal{R}_{b1}\mathcal{R}}^{P \leftarrow O} \right) \left(\boldsymbol{K}_{b1/1}^{O} \right)_{\mathcal{R}_{b1}} \left(\left(T_{\mathcal{R}_{b1}\mathcal{R}}^{P \leftarrow O} \right) \right)^{T} + \left(T_{\mathcal{R}_{b2}\mathcal{R}}^{P \leftarrow O} \right) \left(\boldsymbol{K}_{b2/1}^{O} \right)_{\mathcal{R}_{b2}} \left(\left(T_{\mathcal{R}_{b2}\mathcal{R}}^{P \leftarrow O} \right) \right)^{T} + \left(T_{\mathcal{R}_{b3}\mathcal{R}}^{P \leftarrow O} \right) \left(\boldsymbol{K}_{b3/2}^{O} \right)_{\mathcal{R}_{b3}} \left(\left(T_{\mathcal{R}_{b3}\mathcal{R}}^{P \leftarrow O} \right) \right)^{T} \\ &+ \left(T_{\mathcal{R}_{b4}\mathcal{R}}^{P \leftarrow O} \right) \left(\boldsymbol{K}_{b4/2}^{O} \right)_{\mathcal{R}_{b4}} \left(\left(T_{\mathcal{R}_{b4}\mathcal{R}}^{P \leftarrow O} \right) \right)^{T} \right]^{-1} + \left[\left(T_{\mathcal{R}_{c1}\mathcal{R}}^{P \leftarrow O} \right) \left(\boldsymbol{K}_{c1/0}^{O} \right)_{\mathcal{R}_{c1}} \left(\left(T_{\mathcal{R}_{c1}\mathcal{R}}^{P \leftarrow O} \right) \left(\boldsymbol{K}_{c2/0}^{O} \right)_{\mathcal{R}_{c2}} \left(\left(T_{\mathcal{R}_{c2}\mathcal{R}}^{P \leftarrow O} \right) \right)^{T} \right]^{-1} \end{split}$$

où les rigidités des éléments en parallèle peuvent être sommées, et les compliances des éléments en série peuvent être sommées (à l'inverse des résistances en électronique).

EPFL (a) Lame horizontale

$$(\mathbf{K}_{a/0}^{O})_{\mathcal{R}} = \begin{pmatrix} 0 & 0 & 0 & \frac{GI_{xa}}{I_{a}} & 0 & 0 \\ 0 & 0 & 0 & 0 & \frac{EI_{ya}}{I_{a}} & 0 \\ 0 & 0 & 0 & 0 & \frac{EI_{ya}}{I_{a}} & 0 \\ 0 & \frac{t_{a}w_{a}E}{I_{a}} & 0 & 0 & 0 & 0 & 0 \\ 0 & 0 & \frac{12EI_{za}}{I_{a}^{2}} & 0 & 0 & 0 & 0 \\ 0 & 0 & \frac{12EI_{ya}}{I_{a}^{2}} & 0 & 0 & 0 & 0 \end{pmatrix}$$

$$\begin{cases} x = x_{a} \\ y = y_{a} \\ z = z_{a} = 0 \end{cases} \quad \mathbf{PO} \times \begin{bmatrix} 0 & 0 & y_{a} \\ 0 & 0 & -x_{a} \\ -y_{a} & x_{a} & 0 \end{bmatrix}$$

$$I_{xa} = I_{ya} + I_{za}, \qquad I_{ya} = \frac{t_a w_a^3}{12}, \qquad I_{za} = \frac{t_a^3 w_a}{12}$$

$$\begin{pmatrix} T_{\mathcal{R}_{a}\mathcal{R}}^{P\leftarrow O} \end{pmatrix} = \begin{pmatrix} I_{3\times 3} & 0 \\ \mathbf{PO} \times & I_{3\times 3} \end{pmatrix}$$

$$\begin{cases} x = x_a \\ y = y_a \\ z = z_a = 0 \end{cases} \quad \mathbf{PO} \times = \begin{bmatrix} 0 & 0 & y_a \\ 0 & 0 & -x_a \\ -y_a & x_a & 0 \end{bmatrix}$$

(b) Lames verticales

$$\left(\mathbf{K}_{bi/j}^{O} \right)_{\mathcal{R}_{bi}} = \begin{pmatrix} 0 & 0 & 0 & \frac{GI_{xb}}{l_b} & 0 & 0 \\ 0 & 0 & 0 & 0 & \frac{EI_{yb}}{l_b} & 0 \\ 0 & 0 & 0 & 0 & 0 & \frac{EI_{zb}}{l_b} \\ \frac{t_b w_b E}{l_b} & 0 & 0 & 0 & 0 & 0 \\ 0 & \frac{12EI_{zb}}{l_b^3} & 0 & 0 & 0 & 0 \\ 0 & 0 & \frac{12EI_{yb}}{l_b^3} & 0 & 0 & 0 & 0 \end{pmatrix}$$

$$I_{xb} = I_{yb} + I_{zb}, \qquad I_{yb} = \frac{t_b^3 w_b}{12}, \qquad I_{zb} = \frac{t_b w_b^3}{12}$$

$$R = \begin{bmatrix} \cos(\phi) & 0 & \sin(\phi) \\ 0 & 1 & 0 \\ -\sin(\phi) & 0 & \cos(\phi) \end{bmatrix}$$

$$\begin{pmatrix} T_{\mathcal{R}_{b_1}\mathcal{R}}^{P \leftarrow O_1} \end{pmatrix} = \begin{pmatrix} R & 0 \\ PO_1 \times R \end{pmatrix}$$

$$\phi = \theta_b - \frac{\pi}{2}$$

$$\begin{pmatrix} T_{\mathcal{R}_{b2}\mathcal{R}}^{P \leftarrow O_2} \end{pmatrix} = \begin{pmatrix} R & 0 \\ PO_2 \times R \end{pmatrix}$$

$$\phi = \frac{\pi}{2} - \theta_b$$

$$\begin{pmatrix} T_{\mathcal{R}_{b3}\mathcal{R}}^{P \leftarrow O_3} \end{pmatrix} = \begin{pmatrix} R & 0 \\ PO_3 \times R \end{pmatrix}$$

$$\phi = \theta_b - \frac{\pi}{2}$$

$$\begin{pmatrix} T_{\mathcal{R}_{b4}\mathcal{R}}^{P \leftarrow O_4} \end{pmatrix} = \begin{pmatrix} R & 0 \\ PO_4 \times R \end{pmatrix}$$

$$\phi = \frac{\pi}{2} - \theta_b$$

$$\begin{cases} x = x_{b12} \\ y = y_b \\ z = z_{b23} \end{cases} \qquad \mathbf{PO_2} \times = \begin{bmatrix} 0 & -z_{b23} & y_b \\ z_{b23} & 0 & -x_{b12} \\ -y_b & x_{b12} & 0 \end{bmatrix}$$

$$\begin{cases} x = x_{b34} \\ y = y_b \\ z = z_{b14} \end{cases} \qquad \mathbf{PO_4} \times = \begin{bmatrix} 0 & -z_{b14} & y_b \\ z_{b14} & 0 & -x_{b34} \\ -y_b & x_{b34} & 0 \end{bmatrix}$$

(c) Pivots cruciformes

$$(\mathbf{K}_{ci/0}^{0})_{\mathcal{R}_{ci}} = \begin{pmatrix} 0 & 0 & 0 & \frac{(td^3 + s^3(b-t) + sb^3 + t^3(d-s))G}{12L} & 0 & 0 \\ 0 & 0 & 0 & 0 & \frac{(sb^3 + t^3(d-s))E}{12L} & 0 \\ 0 & 0 & 0 & 0 & 0 & 0 & \frac{(td^3 + s^3(b-t))E}{12L} \\ 0 & 0 & 0 & 0 & 0 & 0 & 0 \\ \frac{(d \cdot t + s \cdot (b-t))E}{L} & 0 & 0 & 0 & 0 & 0 \\ 0 & \frac{(td^3 + s^3(b-t))E}{L^3} & 0 & 0 & 0 & 0 \\ 0 & 0 & \frac{(sb^3 + t^3(d-s))E}{L^3} & 0 & 0 & 0 & 0 \end{pmatrix}$$

$$R = \begin{bmatrix} \cos(\phi) & 0 & \sin(\phi) \\ 0 & 1 & 0 \\ -\sin(\phi) & 0 & \cos(\phi) \end{bmatrix}$$

$$\begin{pmatrix} T_{\mathcal{R}_{c1}\mathcal{R}}^{P \leftarrow O_1} \end{pmatrix} = \begin{pmatrix} R & 0 \\ PO_1 \times R \end{pmatrix}$$

$$\phi = \frac{\pi}{2}$$

$$\begin{cases} x = x_{c1} \\ y = y_c \\ z = z_c \end{cases}$$

$$\begin{cases} x = x_{c1} \\ y = y_c \\ z = z_c \end{cases} \qquad \mathbf{PO_1} \times = \begin{bmatrix} 0 & -z_c & y_c \\ z_c & 0 & -x_{c1} \\ -y_c & x_{c1} & 0 \end{bmatrix}$$

$$\begin{pmatrix} T_{\mathcal{R}_{c2}\mathcal{R}}^{P \leftarrow O_2} \end{pmatrix} = \begin{pmatrix} R & 0 \\ \mathbf{PO_2} \times & R \end{pmatrix}$$

$$\phi = -\frac{\pi}{2}$$

$$\begin{cases} x = x_{c2} \\ y = y_c \\ z = z_c \end{cases}$$

$$\begin{cases} x = x_{c2} \\ y = y_c \\ z = z_c \end{cases} \qquad \mathbf{PO_2} \times = \begin{bmatrix} 0 & -z_c & y_c \\ z_c & 0 & -x_{c2} \\ -y_c & x_{c2} & 0 \end{bmatrix}$$

Matrice de rigidité globale

La matrice de rigidité globale est extrêmement compliquée sous sa forme littérale. A l'aide d'outils numériques tels que Matlab, il est néanmoins possible d'effectuer une application numérique.



Attention: les unités des coefficients de cette matrice ne sont pas les mêmes selon le bloc considéré!

- En [N.m/rad] pour le bloc 3x3 supérieur gauche
- En [N.m/m] pour le bloc 3x3 supérieur droit
- En [N/rad] pour le bloc 3x3 inférieur gauche
- En [N/m] pour le bloc 3x3 inférieur droit

Application numérique

En utilisant une gamme de paramètres dans le modèle, nous trouvons par exemple pour les valeurs de $(K_{tot}^P)_p$:

3.321e+03	8.394e+06	-3.395e+04	2.972e+08	8.396e+03	1.416e+04
1.678e+08	-3.392e+01	-4.075e+06	9.298e+03	4.031e+08	-6.720e+06
6.315e+05	8.258e+03	-1.734e+05	-3.601e+04	1.715e+07	2.572e+09
2.768e+07	-7.723e+01	6.670e+05	-1.157e+03	-6.597e+07	1.017e+05
-2.811e+02	4.843e+06	2.437e+03	-2.135e+07	-4.341e+02	8.258e+03
-1.696e+06	-9.561e+02	1.701e+07	-3.396e+04	-4.075e+06	6.794e+04

A présent, en écrivant au laser femtoseconde dans la région où se trouve P, nous supposons qu'un déplacement de $z=1.5~\mu m$ est induit. Le *twist* associé s'écrit

$$(\hat{\mathbf{r}}^P)_{\mathcal{R}} = (0, 0, 0, 0, 0, 1.5 \cdot 10^{-6})$$

et nous pouvons calculer les moments et forces induits à l'aide du wrench:

$$\begin{split} \left(\widehat{\pmb{F}}^P\right)_{\mathcal{R}} &= \left(\pmb{K}^P_{tot}\right)_{\mathcal{R}} \cdot (\widehat{\pmb{r}}^P)_{\mathcal{R}} \\ &= \underbrace{\left(-2.545e + 00, \, -1.434e - 03, \, 2.551e + 01, \, -5.095e - 02, -6.113e + 00, \, 1.019e - 01\right)}_{\pmb{M}_{\mathcal{X}}, \, \pmb{M}_{\mathcal{V}}} & \underbrace{\pmb{M}_{\mathcal{Z}} \, \text{en} \, [\textbf{N} \cdot \textbf{m}]}_{\pmb{F}_{\mathcal{X}}, \, \pmb{F}_{\mathcal{V}}} \, \& \, \pmb{F}_{\mathcal{Z}} \, \text{en} \, [\textbf{N}] \end{split}$$





Joyeuses fêtes et bonnes révisions!

 École polytechnique fédérale de Lausanne